

II-8 可撓支塔の曲げ剛性が吊橋の自由振動と耐風安定性に及ぼす影響について

北海道大学 正員 今 俊三
正員 和田 慎

序言 吊橋の自由振動に関しては多くの人の研究があるが、いずれも rocker tower として支塔を扱っている。本研究では flexible cantilever tower の場合に、その曲げ剛性が 吊橋の自由振動数、また又 吊橋の耐風安定性の判定指標としての Steinman index への影響を理論的に、及び算例をもって試み、これを明らかにしたものである。

I 基本式

吊橋振動系のエネルギーの平衡から、温度変化の影響を無視すると、

$$\sum_{1,2,3} \int EI(x) U''(x)^2 dx + \sum_T \int EI_T(y) U'_T(y)^2 dy + \sum_{1,2,3} H \int U(x)^2 dx - \sum_{1,2,3} H_p y \int U(x) dx \\ = \omega_B^2 \left\{ \sum_{1,2,3} \int m(x) U(x)^2 dx + \sum_T \int m_T(y) U'_T(y)^2 dy \right\} \quad (1)$$

但し、 $m(x), m_T(y)$ ： 吊橋及び支塔の質量、 ω_B ： 曲げの固有円振動数(sec⁻¹)
さらに ケーブルの垂直投影長さの変化の関係より、

$$\frac{L_{K(T)}}{E_k F_k} H_{P(T)} + y''(\frac{1}{2}) \int U(x) dx = \begin{cases} |\Delta l| \\ 2|\Delta l| \\ |\Delta l| \end{cases} \quad L_{K(T)} = \int \cos^2 \varphi dx \quad (2)$$

上式に於て、suffix 1,2,3 : 左々 側径間、中央径間、側径間を示す。T: 支塔を示す。
 Δl : 支塔頂部のたわみ量。 支塔は各径間のケーブルに生ずる 水平張力 H_p の不均衡によってたわむものとすれば、支塔のたわみ曲線 $U_T(y)$ は次式で与えられる。

$$U_T(y) = \Delta l \cdot (1 - \sin \frac{\pi y}{2h_T}) = -\frac{\xi_T}{EI_T} (H_{P_2} - H_{P_1}) \cdot (1 - \sin \frac{\pi y}{2h_T}) \quad (3)$$

但し EI_T : 支塔の曲げ剛性、 $I_T' = I_T - \sqrt{E} \left(\frac{\pi}{2h_T} \right)^2$ 、 $\xi_T = \frac{32}{\pi^4} \cdot h_T^3$

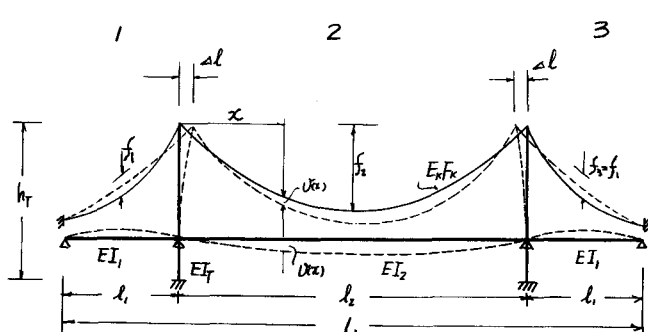


図-1

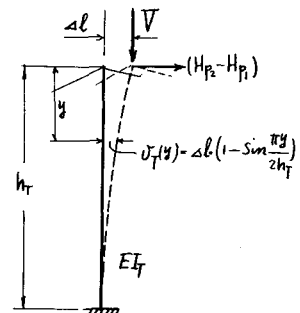


図-2

式(2)(3)の関係を式(1)に代入し整理すると

$$\sum_{1,2,3} EI(x) \ddot{U}(x)^2 dx + \sum_{1,2,3} H \int U(x)^2 dx + a_1 \left[\ddot{y}_1^2 \int U_1(x) dx \right]^2 + a_2 \left[\ddot{y}_2^2 \int U_2(x) dx \right]^2 + a_{12} \left[\ddot{y}_1^2 \int U_1(x) dx \right] \left[\ddot{y}_2^2 \int U_2(x) dx \right] \\ = \omega_B^2 \left[\sum_{1,2,3} m(x) \ddot{U}(x)^2 dx + m_T \left(b_1 \left[\ddot{y}_1^2 \int U_1(x) dx \right]^2 + b_2 \left[\ddot{y}_2^2 \int U_2(x) dx \right]^2 + b_{12} \left[\ddot{y}_1^2 \int U_1(x) dx \right] \left[\ddot{y}_2^2 \int U_2(x) dx \right] \right) \right] \quad (4)$$

係数 a, b は次表に示すが、(i) O-S-O型吊橋(補剛桁が中央径間のみで吊されてる) (ii) S-S-S型吊橋(3径間連続補剛桁、3径間で吊されてる) の二つに分けて考える。

型	対称振動		逆対称振動	
O-S-O	a_2 $\Phi_S \left(\frac{L_{K_1} EI_T}{E_k F_k \xi_T} + 1 \right)$ $+ 2 \Phi_S^2 \frac{EI_T}{\xi_T} \left(\frac{L_{K_1}}{E_k F_k} \right)^2$	b_2 $0.4536 \Phi_S^2 \left(\frac{L_{K_1}}{E_k F_k} \right)^2 h_T$	a_2 $2 \frac{EI_T}{\xi_T}$	b_2 $0.4536 h_T$
S-S-S	a_1 $2 \Phi_S \left(\frac{L_{K_2} EI_T}{E_k F_k \xi_T} + 2 \right)$ $+ 2 \Phi_S^2 \frac{EI_T}{\xi_T} \left(\frac{L_{K_2}}{E_k F_k} \right)^2$	b_1 $0.4536 \Phi_S^2 \left(\frac{L_{K_2}}{E_k F_k} \right)^2 h_T$	a_1 $2 \Phi_A$ $+ 2 \Phi_A^2 \frac{EI_T}{\xi_T} \left(\frac{E_k F_k}{L_{K_1}} \right)^2$	b_1 $0.4536 \Phi_A^2 \left(\frac{E_k F_k}{L_{K_1}} \right)^2 h_T$
O-S-S	a_2 $\Phi_S \left(\frac{L_{K_1} EI_T}{E_k F_k \xi_T} + 1 \right)$ $+ 2 \Phi_S^2 \frac{EI_T}{\xi_T} \left(\frac{L_{K_1}}{E_k F_k} \right)^2$	b_2 $0.4536 \Phi_S^2 \left(\frac{L_{K_1}}{E_k F_k} \right)^2 h_T$	a_2 不要	b_2 不要
	a_{12} $-4 \Phi_S$ $+ 4 \Phi_S^2 \frac{EI_T}{\xi_T} \frac{L_{K_1} L_{K_2}}{E_k F_k E_k F_k}$	b_{12} $0.9072 \Phi_S^2 \left(\frac{L_{K_1}}{E_k F_k} \frac{L_{K_2}}{E_k F_k} \right) h_T$	a_{12} 不要	b_{12} 不要

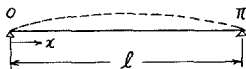
$$\text{但し } \Phi_S = \left[\frac{L_{K_1}}{E_k F_k} \frac{L_{K_2}}{E_k F_k} \frac{EI_T}{\xi_T} + \frac{L_{K_2}}{E_k F_k} + 2 \frac{L_{K_1}}{E_k F_k} \right]^{-1}, \quad \Phi_A = \left[\frac{EI_T}{\xi_T} + \frac{E_k F_k}{L_{K_1}} \right]^{-1}$$

II むきの固有振動

振動理論式は長柱に関する Euler-Bernoulli 球界値表現 $P_E = \pi^2 EI / (l/n)^2$ を利用すると表式が簡単となる。

(i) O-S-O型吊橋

(i) 対称振動 (O-NV)



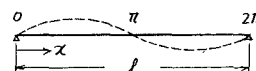
$$U(x) = \sin \frac{\pi x}{l}$$

$$R = \left[1 + \frac{H}{P_E} + a_2 \frac{r}{P_E} \frac{8l^3}{\pi^4} \right]^{-1}$$

$$\omega_B = \frac{\pi}{l} \sqrt{\frac{P_E}{R} \cdot \frac{1}{m + m_T b_2 r^2 \frac{8l}{\pi^4}}}$$

$$P_E = EI \left(\frac{\pi}{l} \right)^2, \quad r = (y'')^2$$

(ii) 逆対称振動 (I-NV)



$$U(x) = \sin \frac{2\pi x}{l}$$

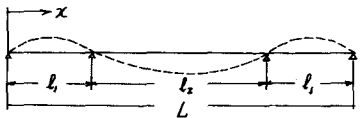
$$R = \left[1 + \frac{H}{P_E} + a_2 \frac{r}{P_E} \frac{l^3}{2\pi^4} \right]^{-1}$$

$$\omega_B = \frac{2\pi}{l} \sqrt{\frac{P_E}{R} \cdot \frac{1}{m + m_T b_2 r^2 \frac{l}{\pi^2}}}$$

$$P_E = EI \left(\frac{2\pi}{l} \right)^2$$

(2) S-S-S 型吊橋

(i) 対称振動 (0 NV)



$$U(x) = \sin \frac{\pi x}{L} - \frac{\sin \frac{\pi l_1}{L}}{\sin \frac{3\pi l_1}{L}} \sin \frac{3\pi x}{L}$$

$$R = \left[1 + \frac{H}{P_E} + \frac{a_1 K g_1 + a_2 K g_2 + a_{12} \sqrt{K_1 K_2} g_1 g_2}{P_E (1 + q \bar{s})} \frac{2L^3}{\pi^4} \right]^{-1}$$

$$W_B = \frac{\pi}{L} \sqrt{\frac{P_E}{R} \frac{1 + q \bar{s}}{m(1 + \bar{s}) + m_t(b_1 K g_1 + b_2 K g_2 + b_{12} \sqrt{K_1 K_2} g_1 g_2) \frac{2L^2}{\pi^2}}}$$

$$P_E = EI \left(\frac{\pi}{L} \right)^2 \frac{1 + \theta_1 \bar{s}}{1 + q \bar{s}}, \quad k_{(1)} = [y_{(1)}']^2$$

$$g_1 = \left\{ - \left(1 - \cos \frac{\pi l_1}{L} \right) + \frac{1}{3} \sqrt{\bar{s}} \left(1 - \cos \frac{3\pi l_1}{L} \right) \right\}^2, \quad \bar{s} = \left(\frac{\sin \frac{\pi l_1}{L}}{\sin \frac{3\pi l_1}{L}} \right)^2$$

$$g_2 = \left\{ \left(\cos \frac{\pi(l_1+l_2)}{L} - \cos \frac{\pi l_1}{L} \right) + \frac{1}{3} \sqrt{\bar{s}} \left(\cos \frac{3\pi(l_1+l_2)}{L} - \cos \frac{3\pi l_1}{L} \right) \right\}^2$$

(ii) 逆対称振動 (1 NV)



$$U(x) = \sin \frac{2\pi x}{L} - \frac{\sin \frac{2\pi l_1}{L}}{\sin \frac{4\pi l_1}{L}} \sin \frac{4\pi x}{L}$$

$$R = \left[1 + \frac{H}{P_E} + \frac{a_1 K g_1}{P_E (1 + q \bar{s})} \frac{L^3}{8\pi^4} \right]^{-1}$$

$$W_B = \frac{2\pi}{L} \sqrt{\frac{P_E}{R} \frac{1 + q \bar{s}}{m(1 + \bar{s}) + m_t b_1 K g_1 + \frac{L}{2\pi^2}}}$$

$$P_E = EI \left(\frac{2\pi}{L} \right)^2 \frac{1 + 16\bar{s}}{1 + 4\bar{s}}, \quad k_{(1)} = [y_{(1)}']^2$$

$$g_1 = \left\{ \left(1 - \cos \frac{\pi l_1}{L} \right) + \frac{1}{2} \sqrt{\bar{s}} \left(1 - \cos \frac{4\pi l_1}{L} \right) \right\}^2$$

$$\bar{s} = \left(\frac{\sin \frac{2\pi l_1}{L}}{\sin \frac{4\pi l_1}{L}} \right)^2$$

III Steinman's stiffness index への影響

吊橋の耐風安定性の実用的判定基準としての Steinman stiffness index は Z の部分から成立してなる。

$$S_1 = w_B^2 \cdot w / g b^2 \geq 23500, \quad S_2 = R \sqrt{S_1} \geq 45 \quad (5)$$

但し w : 片側当たり死荷重 (kN/m) b : 有効巾員 (m)

$$R = \left[1 + \frac{\sum H \int u_{(1)}^2 dx + a_1 \left[\int y_{(1)}' u_{(1)} dx \right]^2 + a_2 \left[\int y_{(2)}' u_{(2)} dx \right]^2 + a_{12} \left[\int y_{(1)}' u_{(2)} dx \right] \left[\int y_{(2)}' u_{(1)} dx \right]}{\sum EI(u) u'^2 dx} \right]^{-1} \quad (6)$$

($0 \leq R \leq 1$)

上記 R は II で求めた R に外ならぬ。 S_1 の条件によつて吊橋が空気力学的に安定なることを、 S_2 の条件により吊橋の曲げ振動の発振を阻止し得る程度に補剛材の damping capacity が十分であることを判定し得るものである。これによつて上式中の W_B , R を通じて支塔の曲げ剛性が吊橋の耐風安定性に強々影響を持つことが明るかである。

Steinman index の臨界値を K とすれば 臨界値安全率 γ は次式で与えられる。

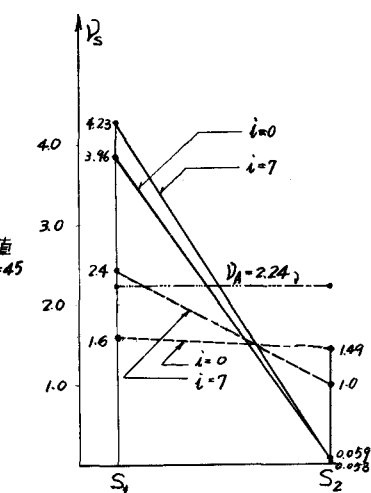
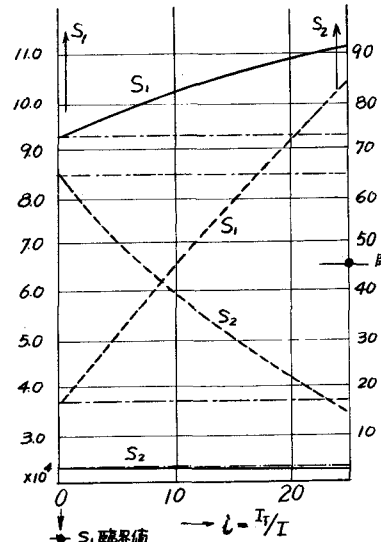
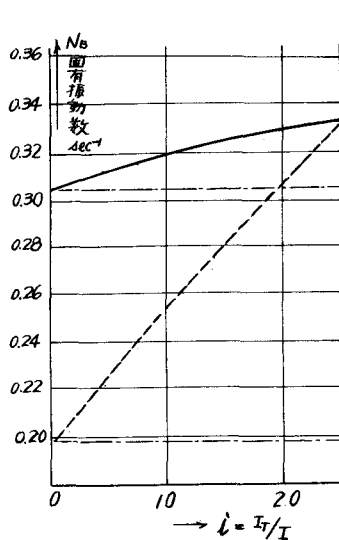
$$\gamma_{(1)} = \left[\frac{S_{(1)}}{K_{(1)}} \right] \geq 1 \quad (7)$$

但し 1.2: S_1, S_2 に対する suffix である。

IV 數値計算例

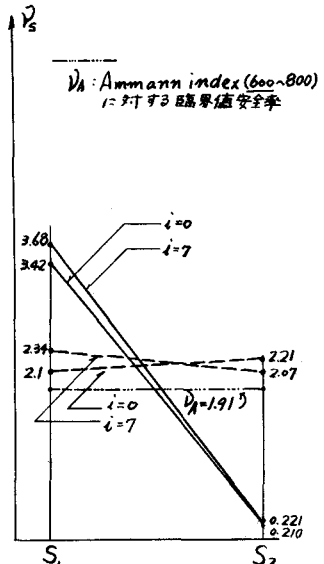
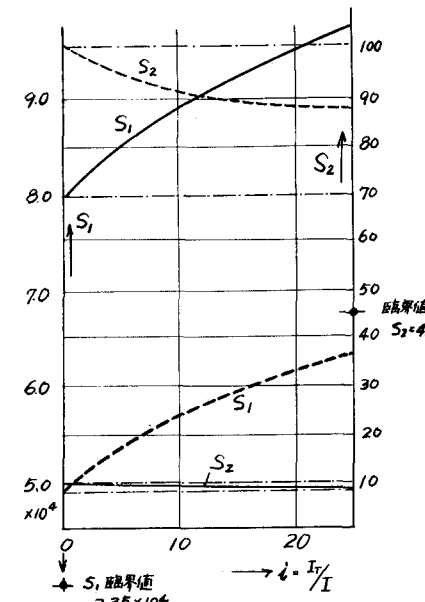
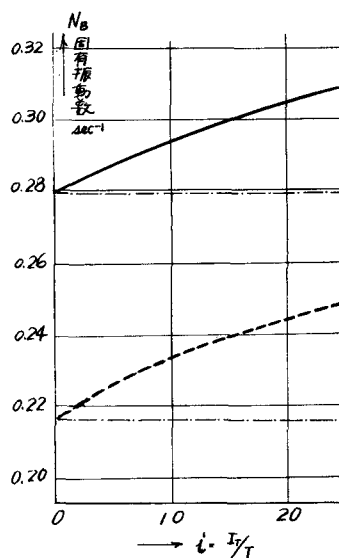
$$1. O-S-O 型吊橋 \quad l = 500 \text{ m}, f = 50 \text{ m}, H = 9375 \text{ t} \quad I = 1.5 \text{ m}^4$$

$$h_T = 65 \text{ m} \quad w = 15 \text{ } \text{kg}/\text{m} \quad E_F F_k = 0.4485 \text{ t (片側)} \quad$$



2. S-S-S 型吊橋 $L = 125 + 500 + 125 (m)$

(他諸元は 1. と同じ。)



(参考文献)

- 今後三：「吊橋の耐風安定性の判定基準について」土木学会北海道支部講習会テキスト(8834)
- 平井敦：「鋼橋 III」
「若戸吊橋の耐風安定性に関する実験的研究」(1960.1)
- Steinman: Paper No. 2420, Trans. A.S.C.E. vol 115, 1950.
- Bleich: Paper No. 2385, Trans. A.S.C.E. vol 114, 1949.
- Hawranek/Stünhardt: Theorie und Berechnung der Stahlbrücken. (1958)